

多版塊接縫式混凝土鋪面之結構 反應分析與驗證

Structural Response Analysis and Verification of
Multi-Slab Jointed Concrete Pavements

指導教授：李英豪 博士
研究生：李育昇

中華民國97年1月4日

1

簡報綱要

- 研究緣起
- 有限元素程式分析結果驗證
- 邊緣應力資料庫與預測模式建立
- 資料庫與舊有預測模式結果比對
- 自動化應力預測程序之建立
- 結論與建議

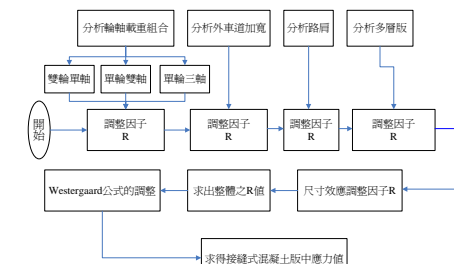
2

研究緣起

- 舊有預測模式
 - 採用重疊原理 → 修正因子多、單版為主
 - 資料庫資料筆數少 → 採用投影追逐迴歸法
 - 溫差方面缺乏驗證
- 本研究
 - 討論多版→只需一或二個修正因子
 - 資料庫資料筆數多→採用LOESS迴歸法
 - 對溫差進行初步的比對
 - 單輪多版時的撓度資料庫
 - I-Miner的應用

3

舊有預測模式流程圖



4

研究方法

- 文獻回顧
- 有限元素程式結果驗證
- 邊緣應力資料庫建立並與舊有預測模式進行比對驗證
- 建立預測模式
- 載重與溫差複合作用資料庫建立自動化程式
- 挠度資料庫建立
- 利用 I-Miner 建立自動化應力預測程序

5

ISLAB2000有限元素程式(1/2)

選用原因：

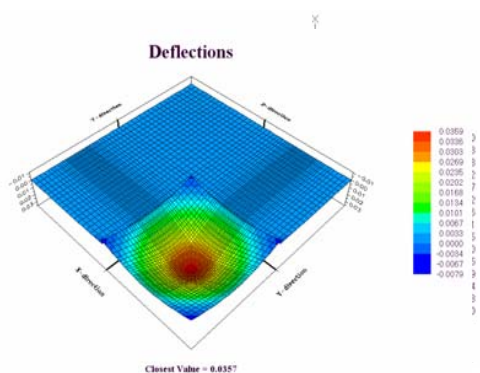
- 比舊有 ILLISLAB 程式有著更人性化的界面
- 擴展及改善了 ILLISLAB 與 ILSL2 程式原來的功能

使用界面：

- 輸入資料的操作介面
- 主執行程式
- 輸出結果圖形化的介面

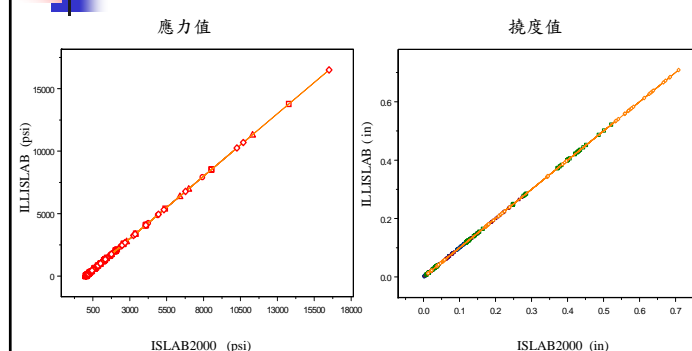
6

ISLAB2000有限元素程式(2/2)



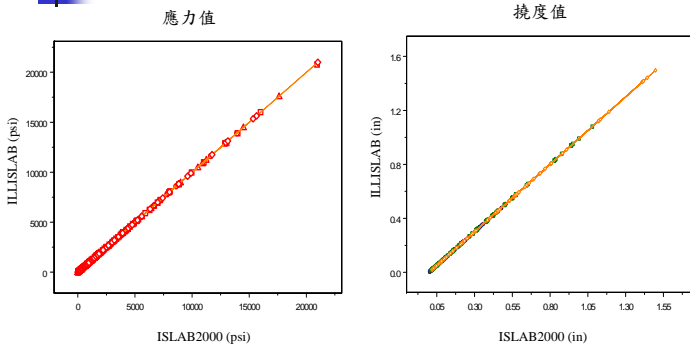
7

分析程式之比較(中央荷重)



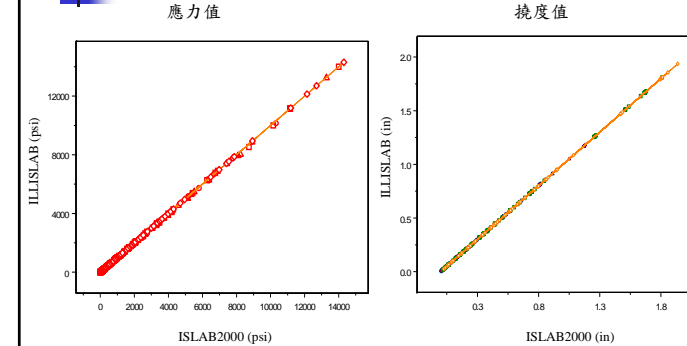
8

分析程式之比較(邊緣荷重)



9

分析程式之比較(角隅荷重)



10

控制參數

由文獻得知，當為單輪單版塊的情況下：

- 受車輪載重單獨作用： $\frac{\partial^2}{P} \cdot \frac{\partial L^2}{P} \cdot \frac{q^2}{P} = f\left(\frac{a}{\ell}, \frac{L}{\ell}, \frac{W}{\ell}\right)$
 - 受車輪載重與溫差複合作用： $\frac{\sigma}{E} \cdot \frac{\partial h}{\ell} \cdot \frac{qh}{k\ell^2} = f\left(\frac{a}{\ell}, \alpha\Delta T, \frac{L}{\ell}, \frac{W}{\ell}, \frac{ph^2}{k\ell^2}, \frac{Ph}{k\ell^2}\right)$
- 考慮多輪載重且為多版塊的狀況，因此加入了四個控制參數，並驗證。

- > s/ℓ
- > t/ℓ
- > LTE_x
- > LTE_y

11

參數驗證(載重單獨作用)

$$\frac{\partial h^2}{P} = f\left(\frac{a}{\ell}, \frac{L}{\ell}, \frac{W}{\ell}, \frac{s}{\ell}, \frac{t}{\ell}, LTE_y, LTE_x\right)$$

L	W	a	t	s	l	b	h	L'	n	o	P	E	E'	t'	h'	dh/dP	
5	0.2	0.3	1	1	0.45	0.45	4	200	3.25	90.25	8	5.39	13.26	28000	13.26	11.26	517.206
5	0.3	0.3	1	1	0.45	0.45	3	300	4.75	180.54	12	6.77	22.57	113200	22.57	22.57	1259.367
5	0.3	0.3	1	1	0.45	0.45	3	400	4.75	180.54	12	6.77	22.57	113200	22.57	22.57	1259.367
5	0.3	0.3	1	1	0.45	0.45	3	500	13.50	180.54	12	6.77	22.57	113200	22.57	22.57	401.126
4	0.2	0.3	1	1	0.45	0.45	4	200	3.25	40.14	6	3.99	11.26	28000	11.26	11.26	325.264
4	0.3	0.3	1	1	0.45	0.45	3	300	4.75	90.27	12	6.77	22.57	113200	22.57	22.57	1259.107
4	0.3	0.3	1	1	0.45	0.45	3	400	4.75	90.27	12	6.77	22.57	113200	22.57	22.57	401.126
4	0.3	0.3	1	1	0.45	0.45	3	500	13.50	90.27	12	6.77	22.57	113200	22.57	22.57	401.126
2	0.2	0.3	1	1	0.45	0.45	4	200	3.25	22.57	6	3.99	11.26	28000	11.26	11.26	246.503
2	0.3	0.3	1	1	0.45	0.45	3	300	4.75	45.14	12	6.77	22.57	113200	22.57	22.57	580.161
2	0.3	0.3	1	1	0.45	0.45	3	400	4.75	45.14	12	6.77	22.57	113200	22.57	22.57	580.161
2	0.3	0.3	1	1	0.45	0.45	3	500	13.50	45.14	12	6.77	22.57	113200	22.57	22.57	580.161
5	0.1	0.1	0.3	0.3	0.45	0.45	4	200	3.25	500.36	6	3.99	30.95	28000	67.70	20.06	223.002
5	0.1	0.1	0.3	0.3	0.45	0.45	3	300	4.75	100.72	12	6.77	67.70	113200	105.41	54.36	87.752
5	0.1	0.1	0.3	0.3	0.45	0.45	3	400	4.75	100.72	12	6.77	67.70	113200	105.41	54.36	87.752
5	0.1	0.1	0.3	0.3	0.45	0.45	3	500	49.76	100.72	12	6.77	67.70	113200	105.41	54.36	87.752
5	0.1	0.1	0.3	0.3	0.45	0.45	3	200	3.25	300.36	6	3.99	30.95	28000	67.70	20.06	223.002
5	0.1	0.1	0.3	0.3	0.45	0.45	3	300	4.75	100.72	12	6.77	67.70	113200	105.41	54.36	87.752
5	0.1	0.1	0.3	0.3	0.45	0.45	3	400	4.75	100.72	12	6.77	67.70	113200	105.41	54.36	87.752
5	0.1	0.1	0.3	0.3	0.45	0.45	3	500	49.76	100.72	12	6.77	67.70	113200	105.41	54.36	87.752
5	0.1	0.1	0.3	0.3	0.45	0.45	3	200	3.25	300.36	6	3.99	30.95	28000	67.70	20.06	223.002
5	0.1	0.1	0.3	0.3	0.45	0.45	3	300	4.75	100.72	12	6.77	67.70	113200	105.41	54.36	87.752
5	0.1	0.1	0.3	0.3	0.45	0.45	3	400	4.75	100.72	12	6.77	67.70	113200	105.41	54.36	87.752
5	0.1	0.1	0.3	0.3	0.45	0.45	3	500	49.76	100.72	12	6.77	67.70	113200	105.41	54.36	87.752
3	0.05	0.4	1.6	1.6	0.45	0.45	4	200	3.25	300.19	6	3.99	67.70	28000	67.70	20.06	223.002
3	0.05	0.4	1.6	1.6	0.45	0.45	3	300	4.75	406.25	12	6.77	67.70	113200	105.41	54.36	87.752
3	0.05	0.4	1.6	1.6	0.45	0.45	3	400	4.75	406.25	12	6.77	67.70	113200	105.41	54.36	87.752
3	0.05	0.4	1.6	1.6	0.45	0.45	3	500	49.76	406.25	12	6.77	67.70	113200	105.41	54.36	87.752
3	0.05	0.4	1.6	1.6	0.45	0.45	3	200	3.25	300.19	6	3.99	67.70	28000	67.70	20.06	223.002
3	0.05	0.4	1.6	1.6	0.45	0.45	3	300	4.75	406.25	12	6.77	67.70	113200	105.41	54.36	87.752
3	0.05	0.4	1.6	1.6	0.45	0.45	3	400	4.75	406.25	12	6.77	67.70	113200	105.41	54.36	87.752
3	0.05	0.4	1.6	1.6	0.45	0.45	3	500	49.76	406.25	12	6.77	67.70	113200	105.41	54.36	87.752

12

參數驗證(載重與溫差複合作用)

$$\frac{\sigma}{E} = f\left(\frac{a}{\ell}, \alpha\Delta T, \frac{L}{\ell}, \frac{W}{\ell}, \frac{j\hbar^2}{k\ell^2}, \frac{Ph}{k\ell^4}, \frac{s}{\ell}, \frac{t}{\ell}, LTEy, LTEx\right)$$

L	λ	W	B	a	b	c	d	e	f	g	h	i	j	k	α	β	γ	σ	τ	μ	ν		
				(Mpc/h)																			
17*	15°	0.2°	12°	1.0°	0.5°	0.3°	2.0°	1.97	0.11	4.26	-11.26	42.11	13.3	13.34	25°	-0.58	-0.60	15.73	0.33	31.17			
17*	15°	0.2°	12°	1.0°	0.5°	0.3°	4.0°	3.08	4.16	-21.54	-1.06	3.01	14.73	1.01	20.33	21.11	-0.58	-0.58	0.45	0.45	31.17		
17*	15°	0.2°	12°	1.0°	0.5°	0.3°	5.0°	3.08	4.16	-21.54	-1.06	3.01	14.73	1.01	20.33	21.11	-0.58	-0.58	0.45	0.45	31.17		
17*	15°	0.2°	12°	1.0°	0.5°	0.3°	5.0°	3.08	4.16	-21.54	-1.06	3.01	14.73	1.01	20.33	21.11	-0.58	-0.58	0.45	0.45	31.17		
17*	15°	0.2°	12°	1.0°	0.5°	0.3°	5.0°	3.08	4.16	-21.54	-1.06	3.01	14.73	1.01	20.33	21.11	-0.58	-0.58	0.45	0.45	31.17		
4*	40°	0.05°	0.6°	3.0°	0.45°	0.6°	2.00	12.40	1.97	4.26	-1.26	23.94	0.99	21.80	21.25	-0.58	-0.58	0.24	0.23	31.17			
4*	40°	0.05°	0.6°	3.0°	0.45°	0.6°	4.00	36.24	27.01	1.97	-1.36	17.67	26.65	1.01	45.02	15.34	12.3	25°	-0.58	-0.58	26.17	31.17	
4*	40°	0.05°	0.6°	3.0°	0.45°	0.6°	4.00	40.70	31.47	1.97	-1.36	17.67	26.65	1.01	45.02	15.34	12.3	25°	-0.58	-0.58	0.17	31.17	
4*	40°	0.05°	0.6°	3.0°	0.45°	0.6°	4.00	40.70	31.47	1.97	-1.36	17.67	26.65	1.01	45.02	15.34	12.3	25°	-0.58	-0.58	0.17	31.17	
4*	40°	0.05°	0.6°	3.0°	0.45°	0.6°	4.00	299.95	23.24	12.16	1.97	31.73	11.73	1.01	23.04	27.01	12.3	25°	-0.58	-0.58	0.11	22.25	31.17
7*	7°	0.1°	1.8°	0.3°	0.3°	0.3°	2.00	2.70	4.26	4.26	1.26	12.05	0.91	4.21	25°	-0.58	-0.58	2.22	1.02	31.17			
7*	7°	0.1°	1.8°	0.3°	0.3°	0.3°	4.00	1.45	2.52	6.31	1.36	4.01	12.05	0.91	4.21	25°	-0.58	-0.58	1.22	1.64	31.17		
7*	7°	0.1°	1.8°	0.3°	0.3°	0.3°	4.00	2.99	2.46	1.26	1.36	4.01	12.05	0.91	4.21	25°	-0.58	-0.58	1.22	1.64	31.17		
7*	7°	0.1°	1.8°	0.3°	0.3°	0.3°	4.00	2.99	2.46	1.26	1.36	4.01	12.05	0.91	4.21	25°	-0.58	-0.58	1.22	1.64	31.17		
7*	7°	0.1°	1.8°	0.3°	0.3°	0.3°	4.00	2.99	2.46	1.26	1.36	4.01	12.05	0.91	4.21	25°	-0.58	-0.58	1.22	1.64	31.17		
11*	10°	0.3°	0.6°	1.0°	0.5°	0.6°	2.00	1.25	0.73	2.29	1.25	1.25	7.01	1.25	12.3	25°	-0.58	-0.58	4.29	29.94	31.17		
11*	10°	0.3°	0.6°	1.0°	0.5°	0.6°	4.00	3.00	2.49	12.41	6.39	11.26	12.05	4.51	11.26	12.3	25°	-0.58	-0.58	2.05	23.60	31.17	
11*	10°	0.3°	0.6°	1.0°	0.5°	0.6°	4.00	4.39	31.81	15.51	4.93	13.10	21.06	0.91	4.21	25°	-0.58	-0.58	0.24	27.60	31.17		
11*	10°	0.3°	0.6°	1.0°	0.5°	0.6°	4.00	200.91	11.25	24.16	12.16	11.26	12.05	0.91	4.21	25°	-0.58	-0.58	0.24	27.60	31.17		
11*	10°	0.3°	0.6°	1.0°	0.5°	0.6°	4.00	200.91	11.25	24.16	12.16	11.26	12.05	0.91	4.21	25°	-0.58	-0.58	0.24	27.60	31.17		
3*	0.1°	2.3°	1.0°	0.3°	0.3°	0.3°	5.00	20.46	4.70	-4.26	-22.33	12.05	34.62	21.94	25°	-0.58	-0.58	1.13	10.30	31.17			
3*	0.1°	2.3°	1.0°	0.3°	0.3°	0.3°	5.00	30.46	10.41	5.31	-3.99	12.05	31.77	20.61	47.83	21.94	25°	-0.58	-0.58	0.12	23.54	31.17	
3*	0.1°	2.3°	1.0°	0.3°	0.3°	0.3°	5.00	41.01	15.41	4.93	13.10	21.06	0.91	4.21	25°	-0.58	-0.58	0.12	23.54	31.17			
3*	0.1°	2.3°	1.0°	0.3°	0.3°	0.3°	5.00	30.30	19.16	12.41	12.16	11.26	12.05	0.91	4.21	25°	-0.58	-0.58	0.12	23.54	31.17		

1

邊緣應力資料庫建立(2/8)

- 鋪面版假設
 - 為相鄰之多版塊
 - 載重單獨作用
 - 版長與版寬相等:300(in)
 - 彈性模數(E):4000000(ksi)
 - 反力模數(k):100pci
 - 載重與溫差複合作用
 - 版長與版寬相等:288(in)
 - 彈性模數(E):4000000(ksi)
 - 反力模數(k):300pci
 - 热膨胀系数(α): $5.5 \times 10^{-6}/^{\circ}\text{C}$

1

邊緣應力資料庫建立(1/8)

■ 方法

- 控制參數、範圍確定
 - 利用VB 構建自動化分析程式

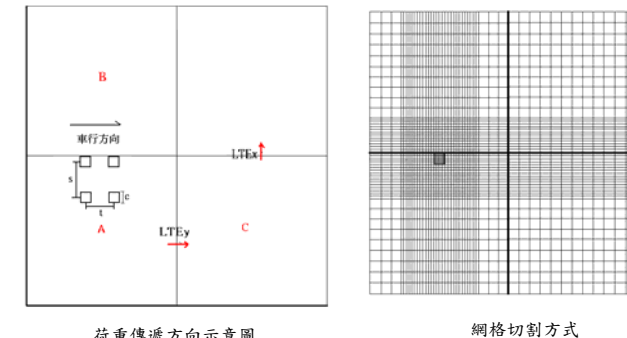
■ 載重單獨作用

- 受尺寸效應影響之多版單輪載重資料庫
 - 無限版長多版多輪軸載重資料庫

■ 載重與溫差複合作用

- 受尺寸效應影響之多版單輪載重自動化程式
 - 無限版長多版多輪軸載重自動化程式

邊緣應力資料庫建立(3/8)



邊緣應力資料庫建立(4/8)

載重單獨作用：

- $L/\ell : 2 \sim 8$ (step by 1)
- $W/\ell : 2 \sim 8$ (step by 1)
- $a/\ell : 0.05, 0.1 \sim 0.4$ (step by 0.1)
- $s/\ell : 0 \sim 2.0$ (step by 0.2), 2.5, 3
- $t/\ell : 0 \sim 2.0$ (step by 0.2), 2.5, 3
- $LTEy : 0.0001, 0.3 \sim 0.9$ (step by 0.15), 0.95
- $LTEX : 0.0001, 0.3 \sim 0.9$ (step by 0.15), 0.95

17

邊緣應力資料庫建立(5/8)

各輪軸型態所需的控制參數（載重單獨作用）

	L/ℓ	W/ℓ	a/ℓ	s/ℓ	t/ℓ	$LTEy$	$LTEX$
單輪	✓	✓	✓			✓	✓
雙輪單軸			✓	✓			✓
雙輪雙軸			✓	✓	✓		✓
雙輪三軸			✓	✓	✓		✓

18

邊緣應力資料庫建立(6/8)

載重與溫差複合作用：

- $L/\ell : 2 \sim 17$ (step by 1)
- $W/\ell : 2 \sim 17$ (step by 1)
- $a/\ell : 0.05, 0.1 \sim 0.4$ (step by 0.1)
- $s/\ell : 0 \sim 2.0$ (step by 0.2), 2.5, 3
- $t/\ell : 0 \sim 2.0$ (step by 0.2), 2.5, 3
- $LTEy : 0.0001, 0.3 \sim 0.9$ (step by 0.15), 0.95
- $LTEX : 0.0001, 0.3 \sim 0.9$ (step by 0.15), 0.95

19

邊緣應力資料庫建立(7/8)

- $\Delta T : -40, -30, -20, -10, 0, 10, 20, 30, 40$

$$\blacksquare D_p = \frac{Ph}{k\ell^4} : 30.41 \times 10, 121.63 \times 10, 486.54 \times 10, 1094.51 \times 10, 1946.15 \times 10$$

(D_p 隨荷重半徑 a 改變而改變)

$$\blacksquare D_r = \frac{\gamma h^2}{k\ell^2} : 0.747 \times 10, 1.756 \times 10, 3.775 \times 10, 5.794 \times 10, 7.813 \times 10$$

(γ 隨荷重半徑 a 的改變而改變)

$$0.037, 0.087, 0.187, 0.287, 0.387$$

20

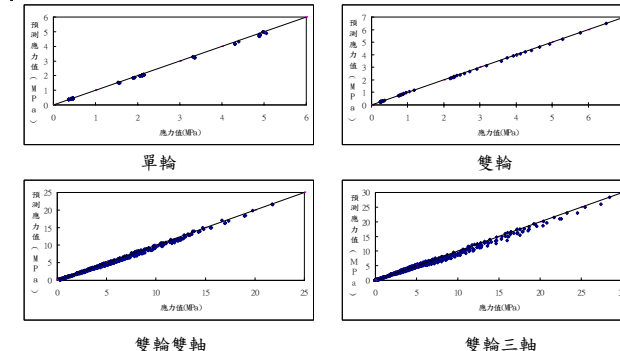
邊緣應力資料庫建立(8/8)

各輪軸型態所需的控制參數（載重與溫差複合作用）

	L/ℓ	W/ℓ	a/ℓ	s/ℓ	t/ℓ	LTEy	LTEX	$\alpha\Delta T$	D_p	D_r
單輪	✓	✓	✓			✓	✓	✓	✓	✓
雙輪單軸			✓	✓		✓	✓	✓	✓	✓
雙輪雙軸			✓	✓	✓	✓	✓	✓	✓	✓
雙輪三軸			✓	✓	✓	✓	✓	✓	✓	✓

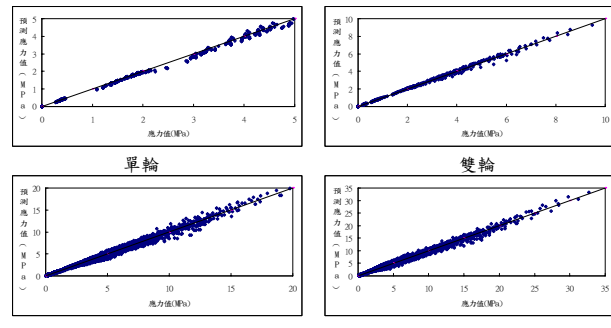
21

載重單獨作用(單版)



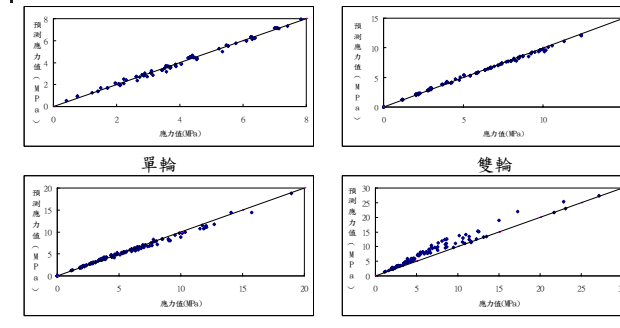
22

載重單獨作用(多版塊)



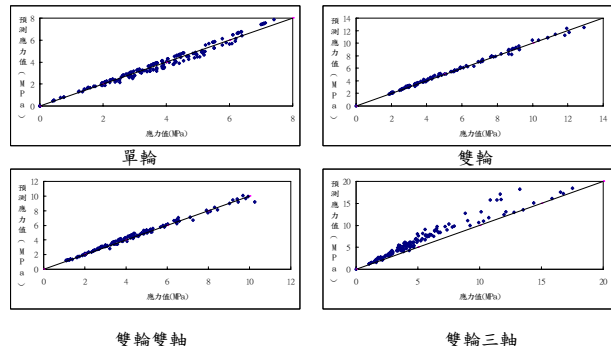
23

載重與溫差複合作用(單版)

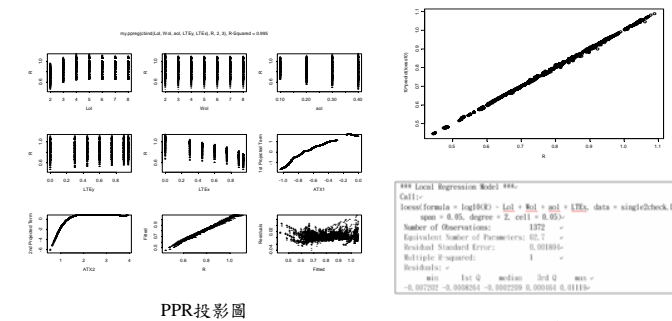


24

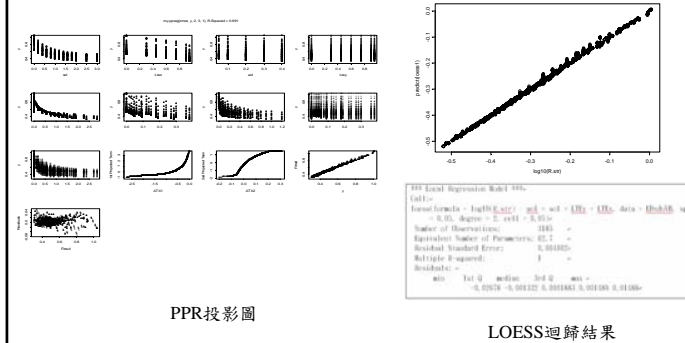
載重與溫差複合作用(多版塊)



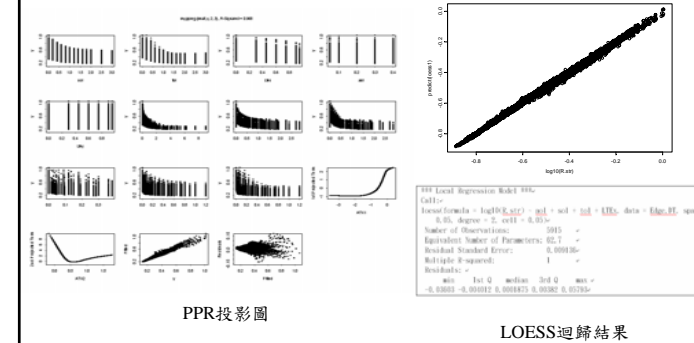
預測模式建立(單輪)



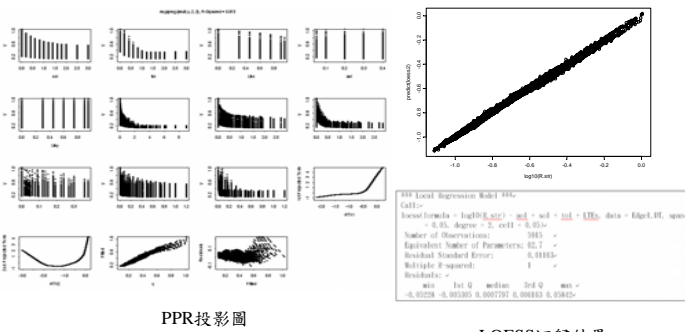
預測模式建立(雙輪)



預測模式建立(雙輪雙軸)



預測模式建立(雙輪三軸)



29

撓度資料庫之建立(1/3)

- 建立單輪多版下的撓度資料庫
 - 邊緣
 - 角隅
 - 中央
- 假設
 - 版長與版寬相等:300(in)
 - 彈性模數(E):4000000(psi)
 - 反力模數(k):100pci

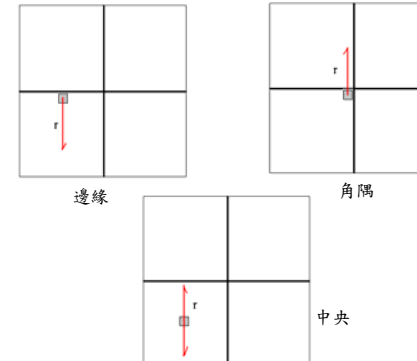
30

撓度資料庫之建立(2/3)

- L/ℓ : 2~8 (step by 1)
- W/ℓ : 2~8 (step by 1)
- a/ℓ : 0.1~0.4 (step by 0.1)
- $LTEy$: 0.0001, 0.3~0.9 (step by 0.15), 0.95
- $LTeX$: 0.0001, 0.3~0.9 (step by 0.15), 0.95

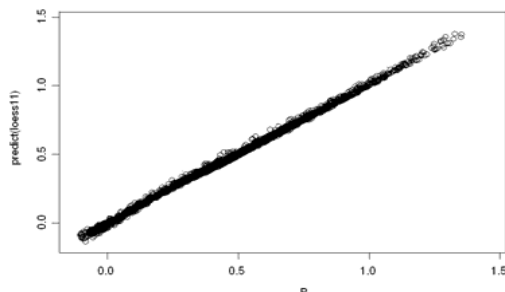
31

撓度資料庫之建立(3/3)



32

預測模式建立



LOESS迴歸

33

I-Miner資料採礦軟體介紹(1/2)

- Insightful Miner是一個企業級的資料採礦工具，可以對很多數據源進行導入及導出。當訪問到數據時，可以使用各種圖、表以及描述性統計等方法去探索資料以及構建和應用模式。



資料採礦流程

34

I-Miner資料採礦軟體介紹(2/2)

- 優點
 - 界面簡潔，容易使用。
 - 數據整理功能強。
 - 內建S語言引擎使得程式本身可以使用S-PLUS強大的統計分析與繪圖功能。

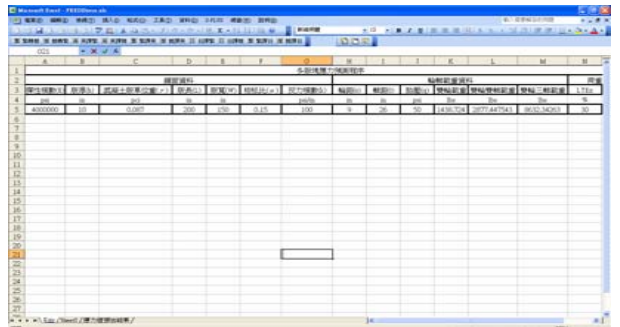
35

程式

- 使用者可以依需求自行更改的輸入部分。
- 由設計者所寫入的核心部分，主要為S語言撰寫的部分。
- 預測應力值顯示之輸出部分。

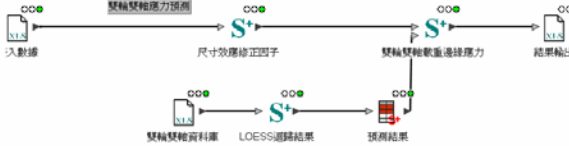
36

輸入界面



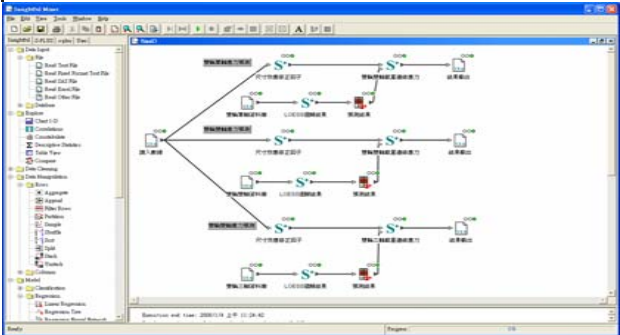
37

作業流程



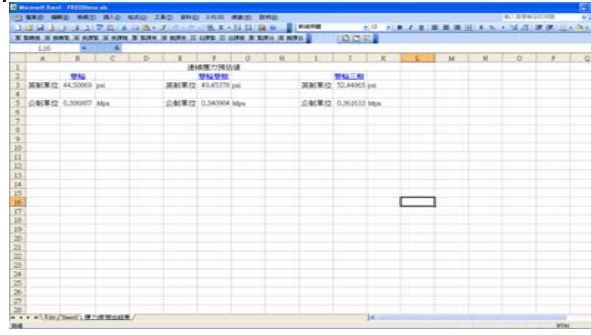
38

成果展示圖



39

結果展現

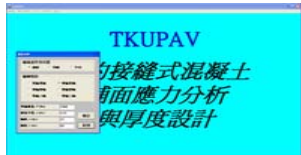


40

未來發展

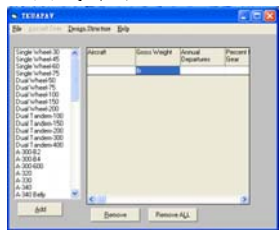


ILLISTRS 程式



TKUPAV 程式

- 可以用以修正、擴展左列舊有程式的預測模式部分。



TKUAPAV 程式 41

結論(1/3)

- 當進行ISLAB2000與ILLISLAB兩執行程式的結果比對，分析其差異性後，可以發現兩程式所得各輪軸載重及各荷重位置之結構反應值幾乎完全相同
- 舊有預測模式只考慮上下方向的荷重傳遞，在小尺寸的版塊（非無限版長）時，則可能因為左右方向的荷重傳遞的影響沒加入修正而使得預測結果不符合實際需求，是需要改善的地方

42

結論(2/3)

- 在單版的驗證上，證明了本研究所建資料庫之基本可性度及正確性
- 對多版的荷重傳遞影響作比較，可以發現在受尺寸效應影響及荷重傳遞效應時單輪載重單獨作用下，舊有預測模式所得結果誤差並不會太大，是可行的。但在多輪軸載重型式時，則由於誤差重複累加使誤差加大，可以本研究所建資料庫建立之預估模式來進行修正。

43

結論(3/3)

- 在溫差與載重複合作用的狀況下，驗證單版單輪結果差異不大，但在雙輪三軸情況下，則出現明顯誤差，可以以本研究所建立的自動化資料庫建立程序來進行後續研究。
- 本研究所建立的自動化分析結果可用以修正、擴展舊有程式的預測模式部分。
- 本研究所建立的單輪多版撓度資料庫可作為未來回算程序建立之基礎。

44

建議(1/2)

- 由於由於本自動化分析程序在未來，希望能與厚度設計法相結合，因此主要分析著重在邊緣應力上。若需要有更為完善的應力分析系統，可以依照本研究的方法，再發展角隅及中央位置的自動化分析程序。
- 由於本研究並未進行三維方面的資料分析，未來可以考慮結合以往研究所建立的2維轉換為3維修正因子的觀念，來進行驗證以及分析，使預估應力值更為貼近現今機場厚度設計方法的趨勢。

45

建議(2/2)

- 在建資料庫時，當資料筆數多時，可以在建立時先抽取一部份結果來測試，以免資料完成時發現在設定過程發生人為疏失，而需重新建立資料庫，費時耗力。
- 本研究所建立的自動化應力預測程序之後可與VB相結合，使其界面及功能更為完善。

46

報告結束

謝謝指教

47